

Universidade do Minho

MESTRADO INTEGRADO EM ENGENHARIA INFORMÁTICA

# Algoritmos Paralelos

*Room Assignment Problem*

Trabalho Prático 1

Eduardo Lourenço da Conceição (A83870)  
Rui Nuno Borges Cruz Oliveira (A83610)

27/03/2021  
Braga

# Índice

<b>1</b>	<b>Introdução</b>	<b>1</b>
<b>2</b>	<b><i>Room Assignment Problem</i></b>	<b>1</b>
2.1	Complexidade . . . . .	1
2.2	Resolução . . . . .	2
2.2.1	Obtenção de uma Solução Inicial . . . . .	2
2.2.2	Algoritmo . . . . .	2
2.2.3	Algoritmo com <i>Simulated Annealing</i> . . . . .	3
2.2.4	Algoritmo <i>Greedy</i> . . . . .	3
<b>3</b>	<b>Implementação da Solução</b>	<b>4</b>
3.1	Otimizações . . . . .	4
3.2	Paralelização . . . . .	6
<b>4</b>	<b>Testes</b>	<b>6</b>
4.1	Condições de Teste . . . . .	7
4.2	Resultados . . . . .	7
4.2.1	Custo da Solução . . . . .	7
4.2.2	Número de Iterações . . . . .	8
4.2.3	Tempo de Execução . . . . .	9
<b>5</b>	<b>Conclusão</b>	<b>10</b>
<b>6</b>	<b>Referências</b>	<b>11</b>

## 1 Introdução

Para o primeiro trabalho prático de Algoritmos Paralelos, foi-nos proposta a implementação de uma solução para o problema de atribuição de quartos (*Room Assignment Problem*). A solução que implementaríamos tem como base a solução implementada pelo Professor Rui Ralha, com base nos Métodos de Monte Carlo, e foi escrita na linguagem de programação C. Neste relatório iremos expôr as decisões que tomamos para a implementação da solução, nomeadamente com a implementação de um algoritmo *greedy* para resolver o problema, como paralelizamos o código e, no final, iremos explorar os resultados dos vários testes que realizamos e as conclusões a que chegamos com os mesmos.

## 2 *Room Assignment Problem*

O problema de atribuição de quartos parte do princípio que temos  $N$  pessoas, sendo  $N$  par, que vamos distribuir em pares em  $N/2$  quartos. Estas pessoas têm um coeficiente de incompatibilidade umas com as outras, e o objetivo é encontrarmos uma combinação que minimize o custo total da solução, em termos do total de incompatibilidade.

Para representarmos o conjunto de pessoas e as suas respetivas incompatibilidades, utilizamos uma matriz  $N \times N$ , dita  $D$ . Esta matriz é simétrica, os coeficientes na diagonal são 0 e em  $D(i,j)$  (e, por extensão,  $D(j,i)$ ), temos o coeficiente representativo do grau de incompatibilidade entre a pessoa  $i$  e a pessoa  $j$ .

Tendo portanto um enunciado do problema, partimos agora para explorar a complexidade do mesmo.

### 2.1 Complexidade

Para podermos procurar uma solução para este problema, devemos olhar primeiro para o espaço de soluções possíveis.

Assumamos que temos  $N$  pessoas. Partamos de uma qualquer pessoa  $i_0$ . Para se juntar a outra, tem de escolher uma entre  $N-1$  hipóteses. Quando a sua escolha for feita, temos o primeiro par  $(i_0, j_0)$  formado. Seguindo para o próximo, a partir de um qualquer  $i_1$  poderemos escolher entre  $N-3$  hipóteses (uma vez que não podemos escolher  $i_0$ ,  $j_0$  ou  $i_1$ ), e daqui formamos o segundo par. Se seguirmos esta lógica com os seguintes pares, temos que o espaço de soluções possíveis contém:

$$(N-1) \times (N-3) \times (N-5) \times \dots \times 3 \times 1$$

soluções.

O aspeto mais importante que poderemos retirar daqui é que o crescimento extremamente rápido do número de soluções possíveis. Para uma matriz relativamente pequena  $100 \times 100$  temos  $2.72 \times 10^{78}$  combinações possíveis. Como podemos ver que o problema é NP, não podemos tentar resolvê-lo com métodos de força bruta, e muito dificilmente utilizando um método que obtenha consistentemente uma solução ótima. Assim, viramo-nos para uma solução heurística.

## 2.2 Resolução

No âmbito do programa de Algoritmos Paralelos, foi utilizado um **Método de Monte Carlo** como base, que foi expandido utilizando *Simulated Annealing*. Por fim, elaboramos também um algoritmo *greedy* simples e determinístico contra o qual poderemos contrastar as soluções obtidas com os dois primeiros métodos.

### 2.2.1 Obtenção de uma Solução Inicial

Para obter uma aproximação inicial  $S_0$ , começamos por criar uma matriz inicialmente com os valores:

$$[ [0,1] , [2,3] , [4,5] , \dots , [N-2,N-1] ]$$

De seguida, iteramos num ciclo de 0 a  $\frac{N}{2}$  com a variável  $i$ , gerando em cada iteração quatro índices, dois entre 0 e  $\frac{N}{2}$  ( $x_0$  e  $x_1$ ) e os outros dois ou 0 ou 1 ( $y_0$  e  $y_1$ ), e fazemos a troca entre os elementos  $S[i][0]$  e  $S[x_0][y_0]$  e os elementos  $S[i][1]$  e  $S[x_1][y_1]$ . Assim, no final deste algoritmo, teremos uma solução inicial aleatória que poderemos utilizar na procura de uma solução heurística.

### 2.2.2 Algoritmo

A primeira implementação feita segue o seguinte algoritmo:

Tendo uma matriz  $D$ , com  $N$  linhas, construímos uma matriz  $N \times 2$  de emparelhamentos aleatórios. Esta servirá como a solução inicial, a partir da qual obteremos uma solução heurística. O custo da solução inicial é dito  $C_0$

De seguida, vamos fazer uma troca aleatória entre dois quartos vizinhos, ficando:

$$(i_k, j_k), (i_{k+1}, j_{k+1}) \implies (i_{k+1}, j_k)(i_k, j_{k+1})$$

Ao fazer isto, calculamos a diferença entre o custo antes da troca e depois da troca,  $\Delta$ :

$$\Delta = D(i_k, j_k) + D(i_{k+1}, j_{k+1}) - (D(i_{k+1}, j_k) + D(i_k, j_{k+1}))$$

Se o custo da nova solução for maior do que o da solução que tínhamos antes da troca, ou seja, se  $\Delta \geq 0$ , então rejeitamos esta solução. Caso contrário, aceitamos a nova solução e atualizamos o custo:

$$C_i := \Delta + C_{i-1}$$

O algoritmo para quando forem feitas  $MAX\_ITER$  iterações consecutivas em que a nova solução é rejeitada.

Em teoria, este algoritmo permite-nos obter uma solução heurística com o custo minimamente otimizado e em tempo útil. A solução pode também, em teoria, ser mais próxima da ótima para valores maiores de  $N$  aumentando o  $MAX\_ITER$ , algo que testamos e cujos resultados podemos ver mais à frente.

### 2.2.3 Algoritmo com *Simulated Annealing*

*Simulated Annealing* é uma técnica probabilística de otimização com o objetivo de simular a diminuição da energia, ou temperatura, do sistema ao longo da execução do algoritmo. Em geral, quanto maior for a temperatura  $T$ , maior é a permeabilidade do sistema a mudanças.

Em prática, o que vai ser diferente é a forma como vemos se uma potencial solução é aceitável ou não. Para além de verificarmos se  $\Delta$  é menor que zero, também verificamos a seguinte condição:

$$e^{-\frac{\Delta}{T}} \geq r$$

sendo  $r$  um número real aleatório entre 0 e 1. Caso qualquer uma das duas condições seja verificada, aceitamos a solução. A temperatura é então reduzida.

Isto deverá resultar em execuções do algoritmo que produzem soluções com custos mais próximos das soluções ótimas, mas o número de passos necessários para completar o algoritmo variará muito mais, tendo tendência a produzir soluções com quatro ou cinco vezes o número de passos da primeira implementação, em algumas ocasiões.

### 2.2.4 Algoritmo *Greedy*

Para além dos dois algoritmos não determinísticos, implementamos também um algoritmo *greedy* determinístico, de modo a podermos comparar a solução que este pode produzir em relação aos métodos de Monte Carlo.

O funcionamento deste é bastante simples: tendo uma matriz  $D$ ,  $N \times N$ , e um *array* auxiliar *aux* de tamanho  $N$ , inicialmente com todos os valores a 0, percorremos a matriz  $D$  linha a linha, e, para cada linha  $i$ , procuramos o menor coeficiente  $D(i, j)$ . Quando o encontramos, o que implica percorrer a linha toda, adicionamos o par  $(i, j)$  à matriz das soluções, e atualizamos o custo:

$$C_{total} := C_{total} + D(i, j)$$

Agora, atualizamos o *array aux*, com  $aux[i] = 1$  e  $aux[j] = 1$ . Este *array* auxiliar vai-nos permitir, em iterações posteriores, ignorar as linhas que já estão emparelhadas (neste caso, a linha  $j$ ).

A utilização de *aux* permite-nos consultar as linhas já emparelhadas em  $O(1)$ , e faz com que a complexidade deste algoritmo seja proporcional a  $N/2$  ( $O(\frac{N}{2})$ ), uma vez que só teremos de verificar metade das linhas da matriz. No entanto, temos de entender que cada passo neste caso é percorrer uma linha inteira da matriz, o que torna a complexidade em  $O(\frac{N}{2} \times N)$ . Desta forma podemos ver que a complexidade deste algoritmo é quadrática, o que é consideravelmente mais do que os outros dois, o que também poderemos confirmar mais tarde.

Não obstante, não é esperado que a solução produzida por este algoritmo seja melhor que a dos outros dois, especialmente quando aumentamos a amplitude dos valores da matriz  $D$  e o seu tamanho.

### 3 Implementação da Solução

Como dissemos anteriormente, a implementação do algoritmo foi feita em C. Nesta secção explicaremos como fizemos a implementação dos três algoritmos, bem como algumas otimizações que experimentamos.

As implementações são adaptações diretas do algoritmo que o professor implementou em MATLAB. Cada um dos algoritmos é implementado numa função com o mesmo nome que o algoritmo (*Rooms*, *RoomsSA* e *RoomsGreedy*), e têm como auxiliar uma função para gerar uma solução inicial, chamada *randperm*.

Em termos de tipagem e assinatura das funções, são as seguintes:

- *int\*\* randperm(size\_t N)*: Função que recebe como parâmetro um tamanho  $N$  e devolve uma matriz  $\frac{N}{2} \times 2$  com pares aleatórios com os números de 0 a  $N-1$ , sob a forma de um duplo apontador para inteiros.
- *int\*\* rooms(int\*\* D, size\_t N, int\* cost, int\* steps, int max\_iter)*: Implementação do algoritmo básico que recebe uma matriz  $D$  e o seu tamanho  $N$ , juntamente com um apontador onde vai guardar o custo da solução e o número de passos e um inteiro representativo do número máximo de iterações que podemos fazer sem haver alterações na solução, e devolve a solução (matriz  $\frac{N}{2} \times 2$ , sendo ela também um duplo apontador para inteiro).
- *int\*\* roomsSA(int\*\* D, size\_t N, int\* cost, int\* steps, int max\_iter, double temp\_multiplier)*: Semelhante ao caso anterior, mas aqui passamos também o multiplicador que altera sucessivamente o valor da temperatura  $T$  na versão com *Simulated Annealing*.
- *int\*\* roomsGreedy(int\*\* D, size\_t N, int\* cost, int\* steps)*: Com o mesmo funcionamento que as outras duas implementações, mas não passamos o número máximo de iterações ou o multiplicador da temperatura, uma vez que este algoritmo não utiliza nenhum dos dois.

A implementação destas funções encontra-se no ficheiro "rooms.c".

#### 3.1 Otimizações

Em termos de otimizações, um aspeto que nos chamou a atenção foi a utilização da função *exp()*, do módulo "math.h", uma das bibliotecas standartizadas de C, na implementação com *Simulated Annealing*. Esta função, que dado um *double*  $x$ , calcula  $e^x$ , consome algum tempo de execução, pelo que tentamos arranjar uma alternativa para a implementar, que fosse ligeiramente mais rápida, que poderia prescindir de alguma precisão numérica, desde que mantivesse o comportamento aproximado da função exponencial.

Em primeiro lugar, sabemos que:

$$e^x = \lim_{n \rightarrow +\infty} \left(1 + \frac{x}{n}\right)^n$$

Mais ainda, como sabemos que, no contexto do problema, o valor de  $x$  é igual a  $-\frac{\delta}{T}$ , substituindo na igualdade anterior, ficamos com:

$$e^{-\frac{\Delta}{T}} = \lim_{n \rightarrow +\infty} \left(1 - \frac{\Delta}{T \times n}\right)^n$$

A partir deste limite, podemos fazer uma aproximação rudimentar mas suficiente do resultado utilizando a seguinte função [3]:

```
static inline
double fast_inverse_exp_256(double x, double T)
{
    x = 1.0 - ( x / ( T * 256.0 ) );
    x *= x; x *= x; x *= x; x *= x;
    x *= x; x *= x; x *= x; x *= x;

    return x;
}
```

No entanto, quando a utilizamos em testes, acabamos por reparar que os ganhos apenas são significativos em situações que temos valores de  $x$  (correspondente ao  $\Delta$ ) bastante elevados, muito maiores do que os valores que seriam relevantes para os testes. Mais ainda, a otimização só é relevante se o programa for compilado com as *flags* de compilação *-O3* ou *-O2* (para o GCC). Como tal, a função não é utilizada mas o seu código encontra-se também no ficheiro "rooms.c".

Outro problema que estávamos a encontrar surgia apenas quando utilizávamos tamanhos pequenos (para  $N < 60$ ) para a matriz  $D$  na versão com *Simulated Annealing*. Quando o valor de  $T$  ficava suficientemente baixo, a certas alturas o programa entrava num ciclo infinito, por razões que nós próprios não conseguimos explicar, mas que suspeitamos estarem relacionadas com problemas de arredondamento na atualização do  $T$ . Como tal, decidimos fazer um *check* na atualização do  $T$ , tal que quando este é menor que um qualquer valor aleatoriamente pequeno (optámos por  $10^{-8}$ ), em vez de  $T$  ser atualizado com o multiplicador *temp\_multiplier*, colocamos o seu valor imediatamente a 0, pelo que, depois, na verificação da exponencial, assumimos que a mesma é igual a 0 e que o sistema chegou ao seu estado de menor energia (ou seja, chega ao ponto em que o seu comportamento é igual ao do algoritmo que não usa *Simulated Annealing*).

Um fator interessante que se provou, ao longo do desenvolvimento do trabalho prático, bastante problemático, foi a geração de números aleatórios. A função **rand()**, standart no C, não é de todo compatível com paralelização. A sua implementação continha por trás uma forma de *locking* que prevenia que mais do que um processo tentasse gerar um número aleatoriamente, pelo que tivemos de procurar uma alternativa. A função **rand\_r()** foi a solução para o nosso problema, pois prescindia do problema de *locking*. Difere também da função *rand()* na medida que não precisa de uma função auxiliar para inicializar a *seed*, pois a *seed* é-lhe passada sob a forma de um apontador para *unsigned int*.

## 3.2 Paralelização

Em termos de paralelização, temos de analisar quais são os aspetos que são mais propícios a paralelização nos algoritmos.

Olhando primeiro para o algoritmo original e a sua variante com *Simulated Annealing*, devido ao facto que cada iteração vai aceder a partes independentes mas inicialmente desconhecidas da matriz, uma vez que são aleatórias, não temos nenhum trabalho aqui propício a paralelização, porque iria ser necessário implementar algum mecanismo de *locking* para as várias *threads* ou processos saberem que quartos estão a ser alterados, o que iria indubitavelmente degradar a *performance* e invalidar qualquer esforço de paralelização.

Em contraste, o algoritmo *greedy* parece, à primeira vista, ser mais paralelizável. Uma vez que a matriz  $D$  é percorrida linha a linha, poderíamos atribuir algumas linhas a cada processo e processá-las independentemente. No entanto, na verdade, isto também não é possível, uma vez que, quando olhamos para uma linha  $i$ , sabemos que vamos escolher um elemento qualquer dessa linha e invalidar a pesquisa numa linha que pertença ao intervalo  $[i + 1, N - 1]$ . Assim, não sabemos também de princípio que linhas devemos ou não ver, pelo que também não existe uma forma boa de paralelizar este algoritmo.

Resta-nos o quê, então? Bem, os testes que nós fazemos a uma dada matriz apenas partilham entre eles variáveis que para todos os efeitos são *read-only*, como a matriz *input*, as suas dimensões, o número máximo de iterações e por aí fora. Mais ainda, os teste são completamente independentes uns dos outros, pelo que são embaraçosamente paralelizáveis. Como tal, são os candidatos ideais a paralelização.

Para o fazer, simplesmente utilizamos um ciclo *for*, que é paralelizado utilizando a cláusula `#pragma omp parallel for` do *OpenMP*. Nós utilizamos, de modo a passar por referência os valores do custo e dos passos necessários para completção às funções, duas variáveis que são declaradas fora da *scope* do ciclo, pelo que estas são declaradas como privadas na cláusula.

Por fim, será interessante falarmos do escalonamento da sua execução. A implementação que utiliza *Simulated Annealing* apresenta uma característica interessante no facto que, em algumas execuções, realiza muitas mais iterações do que em outras, o que é normal, mas é importante notar que, se mapearmos as execuções um para um com *threads* do *OpenMP*, teremos *threads* que realizam muito mais trabalho do que outras, o que degrada a *performance* do programa, pelo que optamos por escolher um escalonamento **dinâmico** para esta versão do algoritmo. Para os outros dois algoritmos, como variam muito menos em termos de número de *steps* (em particular, o *greedy* não varia de todo para a mesma matriz *input*), e, portanto, cada *thread* executa aproximadamente o mesmo trabalho, utilizamos escalonamento **estático**.

## 4 Testes

Nesta secção explicaremos os testes que realizámos, o seu ambiente e as conclusões a que chegamos com os mesmos.



## 4.1 Condições de Teste

O programa foi testado no *SeARCH Cluster*[2] da Universidade do Minho. O nodo utilizado (662) contém dois *Intel Xeon Processors E5-2695 v2* de 12 *cores*[1], sempre requisitado com 1 nodo e 8 processos, na fila *mei*.

Para testar várias combinações, testamos com os seguintes valores:

- Número de Threads: 1,2,4,8,16,32;
- Tamanho da Matriz Input: 100,200,300,...,9900,10000;
- Multiplicador da Temperatura: 0.999 (*default*), 0.8, 0.5, 0.2;
- Número Máximo de Iterações sem mudanças: 50, 100 (*default*), 200, 500

Mais ainda, a matriz *input* é gerada aleatoriamente, sendo ela simétrica com coeficientes entre 1 e 10 e a diagonal igual a 0.

Os resultados apresentados são médias para o custo e para o número de passos, de modo a podermos normalizar os resultados, e o melhor tempo para o caso do tempo de execução, para apenas um dos *datasets*.

## 4.2 Resultados

Nesta secção avaliaremos os resultados que obtivemos para várias configurações e procuraremos uma explicação para os mesmos.

Para simplificar a interpretação e análise dos resultados, em todos os casos exceto na avaliação do tempo de execução utilizaremos a versão sequencial.

### 4.2.1 Custo da Solução

Olhando para o seguinte gráfico:

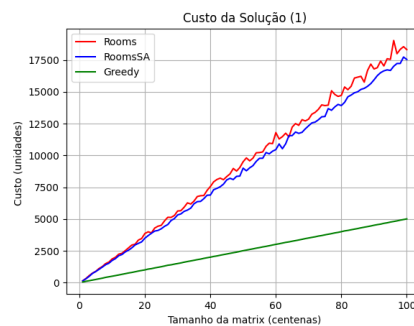


Figure 1: Custo da Solução

Como podemos observar, a solução gerada pelo algoritmo com *Simulated Annealing* é em geral mais "barata" que a gerada pelo algoritmo normal, mas ambas são consideravelmente mais caras que a solução gerada pelo algoritmo *greedy*.

Para podermos ver como a alteração do  $MAX\_ITER$  e do  $TEMP\_MULTIPLIER$  afetam o custo, podemos olhar para os dois seguintes gráficos:

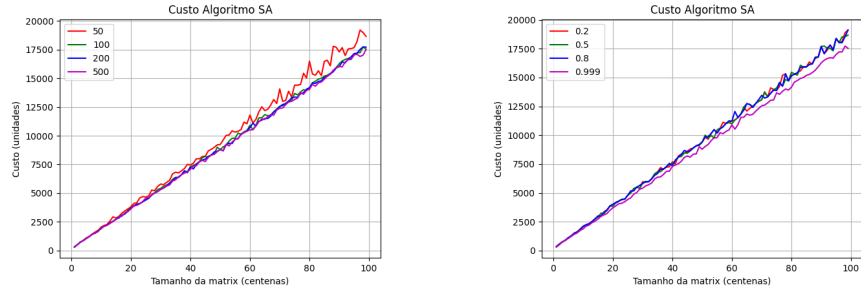


Figure 2: Comparação do Custo com vários valores de  $MAX\_ITER$  (esquerda) e  $TEMP\_MULTIPLIER$  (direita)

Como podemos ver, o custo da solução aumenta em geral para valores de  $MAX\_ITER$  e  $TEMP\_MULTIPLIER$  mais baixos, apesar de não ser uma diferença muito notória. Ambos fazem sentido. Quando diminuimos o  $TEMP\_MULTIPLIER$  fazemos com que o sistema "perca energia" mais rapidamente, ou seja, demora menos tempo até o algoritmo se comportar de maneira mais semelhante ao algoritmo sem *Simulated Annealing*. Quanto ao  $MAX\_ITER$ , ao permitirmos que hajam menos iterações consecutivas sem alterações vamos dar menos "tempo" para encontrar uma alteração, o que fará com que algumas alterações benéficas não sejam consideradas e, portanto, temos um custo mais elevado. O inverso acontece quando aumentamos o  $MAX\_ITER$ .

#### 4.2.2 Número de Iterações

Podemos comparar o número de iterações entre os três algoritmos no seguinte gráfico:



Figure 3: Número de Iterações

Como podemos ver, o número de iterações para algoritmo *greedy* cresce imensamente rápido. Se nós fizermos *zoom out* no gráfico, podemos até ver que o seu crescimento é plenamente quadrático, o que seria de esperar visto que, como dissemos anteriormente, este verifica  $\frac{N}{2} \times N$  elementos da matriz  $D$ .

Olhando agora para os outros dois, podemos ver que o número médio de iterações varia imenso, o que é de esperar com Métodos de Monte Carlo, mas são mais ou menos lineares com o tamanho da matriz *input*. Com *Simulated Annealing*, no entanto, podemos ver que o número de iterações é sempre maior, o que é de esperar, visto que com *SA* temos a possibilidade de aceitar muitas mais configurações por aceitarmos configurações que aumentam o custo.

Avaliemos aqui também o efeito da variação do *MAX\_ITER* e do *TEMP\_MULTIPLIER*.

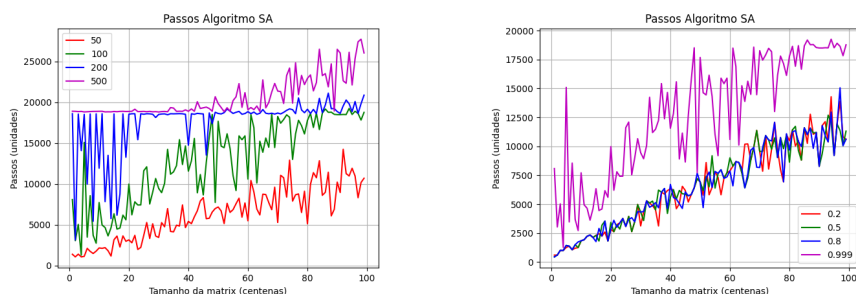


Figure 4: Comparação do Custo com vários valores de *MAX\_ITER* (esquerda) e *TEMP\_MULTIPLIER* (direita)

Para o *MAX\_ITER*, como é óbvio, com o seu aumento, aumentam também o número de iterações, e o inverso acontece com a sua diminuição. Como se sucedia com o custo, quando diminuís o *TEMP\_MULTIPLIER*, também diminuís o número de iterações, pois o comportamento aproxima-se do do algoritmo "rooms" que não usa *Simulated Annealing*. Como pudemos ver na figura 4, a diferença nos passos é muito mais notória do que no custo. Se prestarmos particular atenção à linha para *MAX\_ITER* = 200, podemos ver que é muito constante a partir de  $N = 3000$ . Acreditamos que isto se deve apenas a uma anomalia na medição e não é um aspeto relevante a ter em conta, uma vez que não se conforma de modo nenhum com o resto dos dados recolhidos.

#### 4.2.3 Tempo de Execução

O aspeto mais relevante a analisar aqui é o *speedup* relativo à versão sequencial. Para este efeito, utilizamos os valores para  $N=5000$ , uma vez que conclusões que retiramos daqui poderão ser extendidas para os outros tamanhos.

Seguindo a **Lei de Amdahl**, uma vez que a fração de trabalho sequencial deste programa é nula, o *speedup* teórico que poderemos obter é diretamente proporcional ao número de *processos*. Os resultados que obtivemos foram os seguintes:

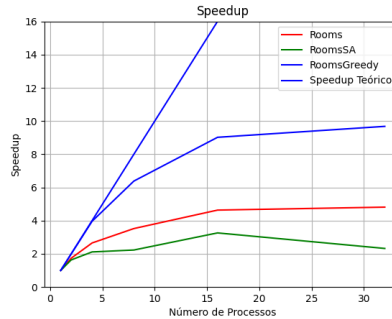


Figure 5: *Speedup* obtido

Como podemos ver, todos os *speedups* estão aquém do valor teórico. Para este facto podemos encontrar duas explicações:

- Em primeiro lugar, nós apenas pedimos oito processos, uma vez que o *cluster* esteve bastante carregado nos dias em que pudemos realizar os testes. Mais ainda, como pedimos apenas um *nodo*, a partir das 8 *threads* obrigamos a utilização de *hyper-threading*, o que justifica o *drop off* a partir das 16 *threads*;
- O *RoomsSA* e o *Rooms*, em particular, têm uma carga de trabalho que é um pouco errática, o que significa que a execução vai estar limitada pela maior execução em termos de *steps*. Mesmo tentando mitigar o problema com a utilização de escalonamento dinâmico, este tem na mesma um efeito notório. Isto acaba também por se refletir no *speedup* do *RoomsGreedy*, que, por ser o com a carga de trabalho mais igualmente distribuída, acaba por ser o com o melhor *speedup*.

No entanto, como podemos ver, conseguimos ter na mesma *speedups* significativos que justificam a paralelização do código da forma que optamos.

## 5 Conclusão

Em geral acreditamos ter alcançado o objetivo do trabalho. Conseguimos uma implementação dos vários algoritmos pedidos e pudemos fazer uma análise sucinta do seu comportamento quando certos parâmetros são alterados. Mais ainda, conseguimos paralelizar o algoritmo de uma forma que nós acreditamos ser satisfatória.

No entanto, existem alguns aspetos que poderiam ser melhorados. O algoritmo *greedy*, por exemplo, poderia ser implementado de uma forma menos simplista de modo a tomar partido do facto que a matriz é simétrica para diminuir o número de *steps*.

## 6 Referências

- [1] *Intel Xeon Processor E5-2695 v2*. URL: <https://ark.intel.com/content/www/us/en/ark/products/75281/intel-xeon-processor-e5-2695-v2-30m-cache-2-40-ghz.html>.
- [2] *SeARCH Cluster*. URL: <http://search6.di.uminho.pt/wordpress/>.
- [3] *Using Faster Exponential Approximation*. URL: <https://codingforspeed.com/using-faster-exponential-approximation/>.